

FE D'ERRADES

Al Volum 10 nº. 3 hi mancaven les figures corresponents
a l'article:

"DIBUIX DE PATRONS PER A LA TALLA DE PANYS DE VELA ASSISTIT
PER COMPUTADOR"

Autor: Lluís Pérez Vidal i Josep M. Robert

S'inclouen a continuació.

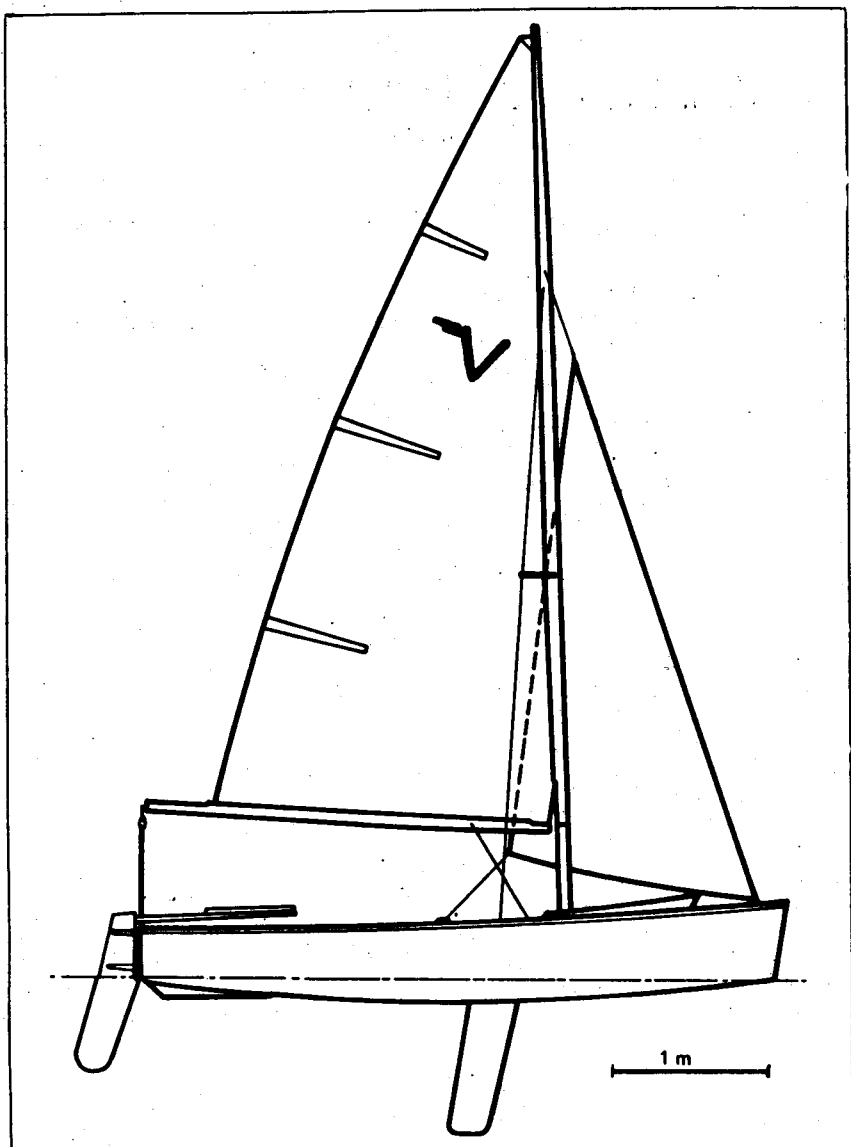


Figure 1.: Embarcació de la classe Vaurien amb la major i el floc de forma triangular.

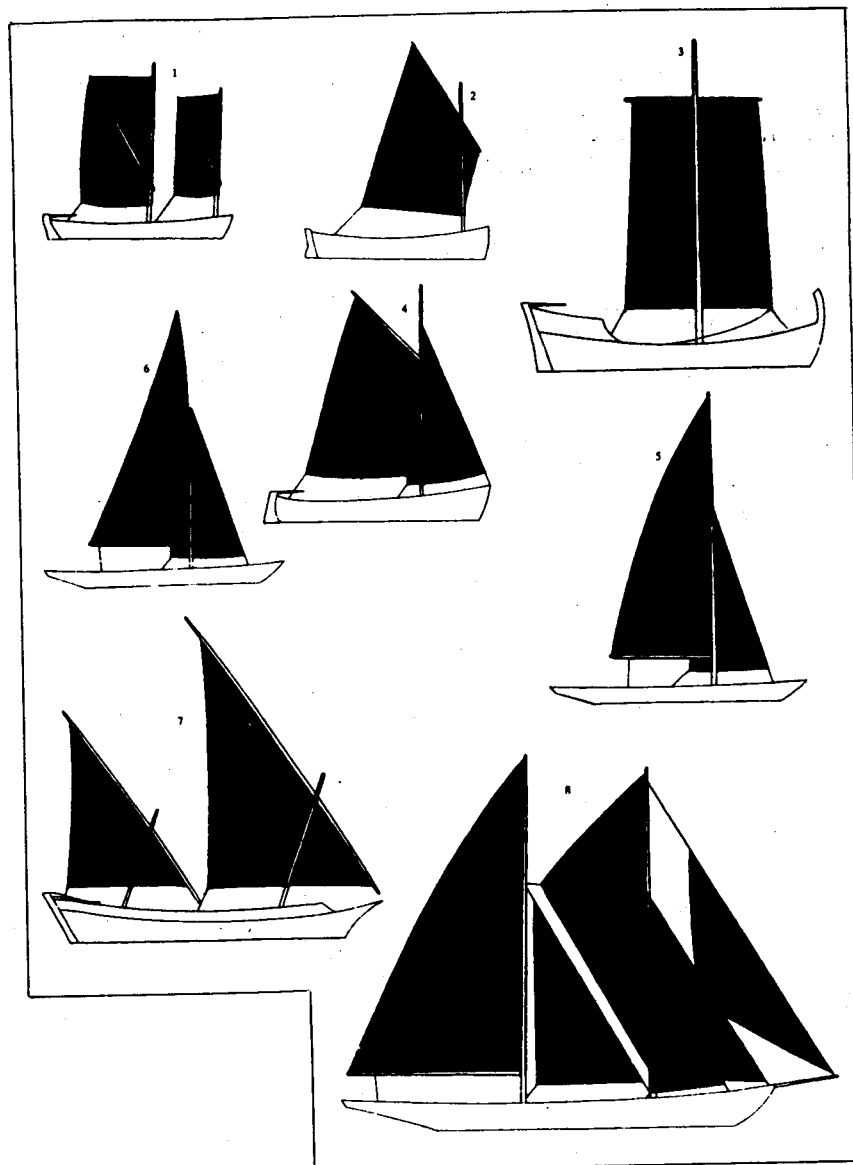


Figura 2 : Diferents tipus de veles.

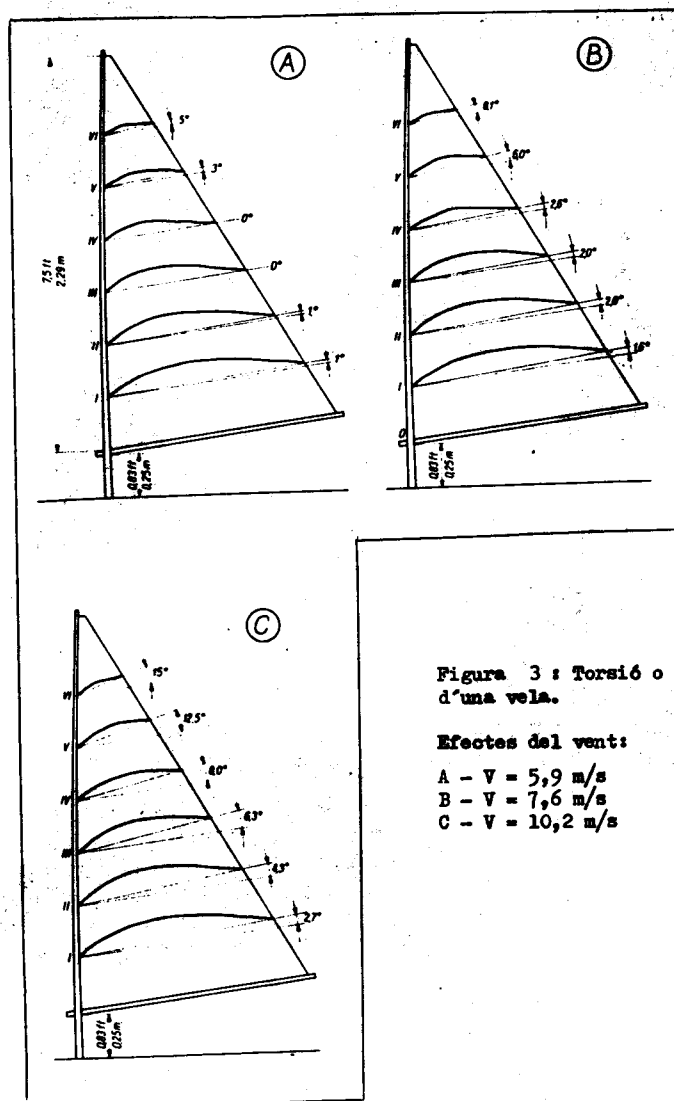


Figura 3 : Torsió o "twist"
d'una vela.

Efectes del vent:

- A - $V = 5,9 \text{ m/s}$
- B - $V = 7,6 \text{ m/s}$
- C - $V = 10,2 \text{ m/s}$

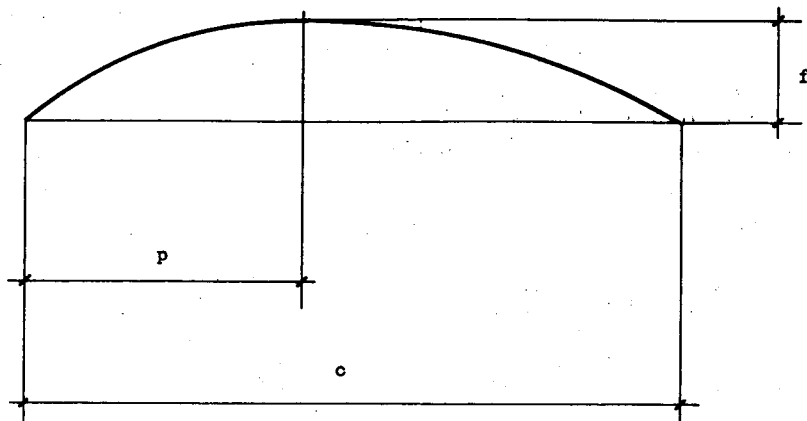
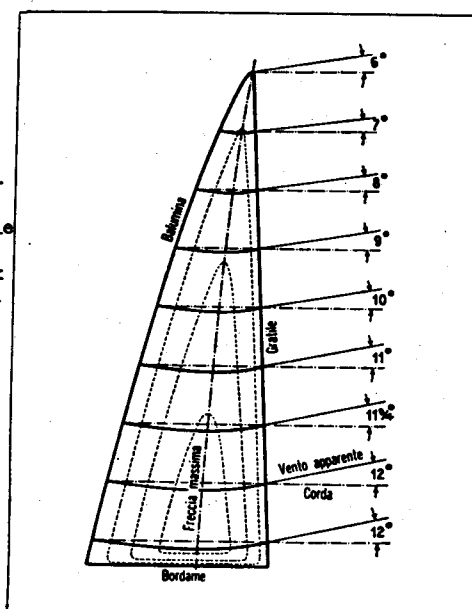
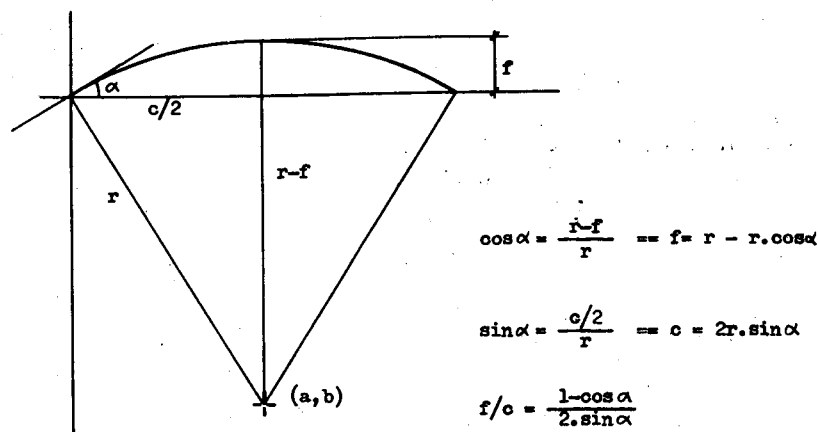


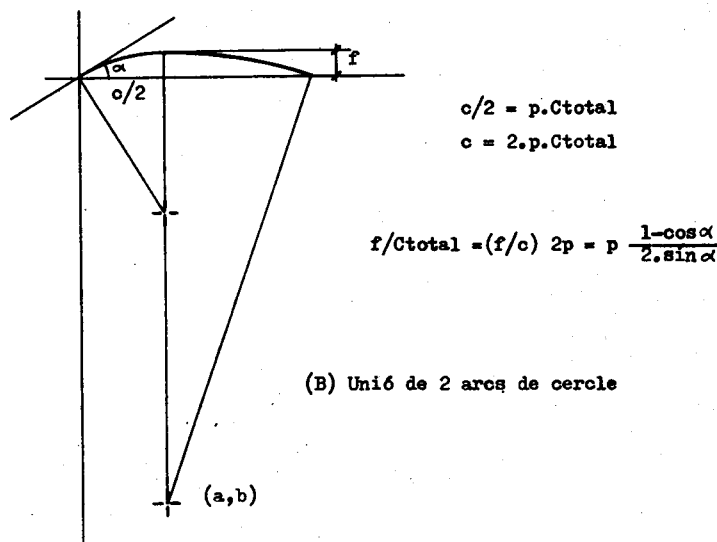
Figura 4 : Corba formada per l'unió de dos arcs de cercle.

Figura 5: Pla de construcció d'una vela major, que indica la variació de l'angle d'incidència del vent. S'observa la corba que uneix els punts de màxima fletxa i la curvatura decreixent de les seccions.





(A) Arc de cercle



(B) Unió de 2 arcs de cercle

Figura 6 : Relació angle d'incidència-embossament.

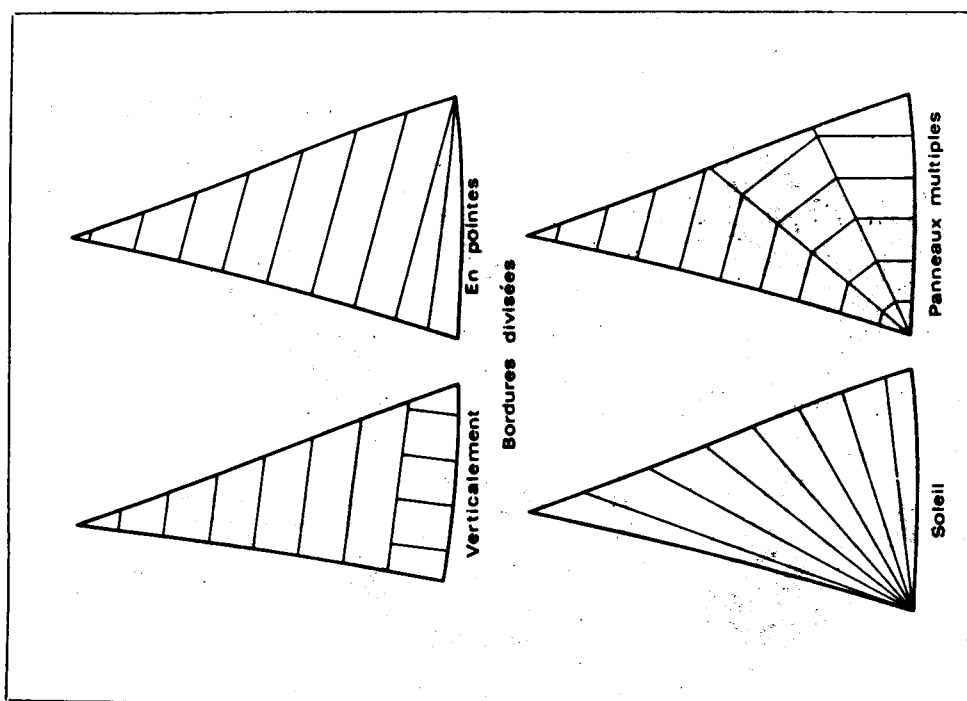


Figura 8 : Tipus de tess de flocs.

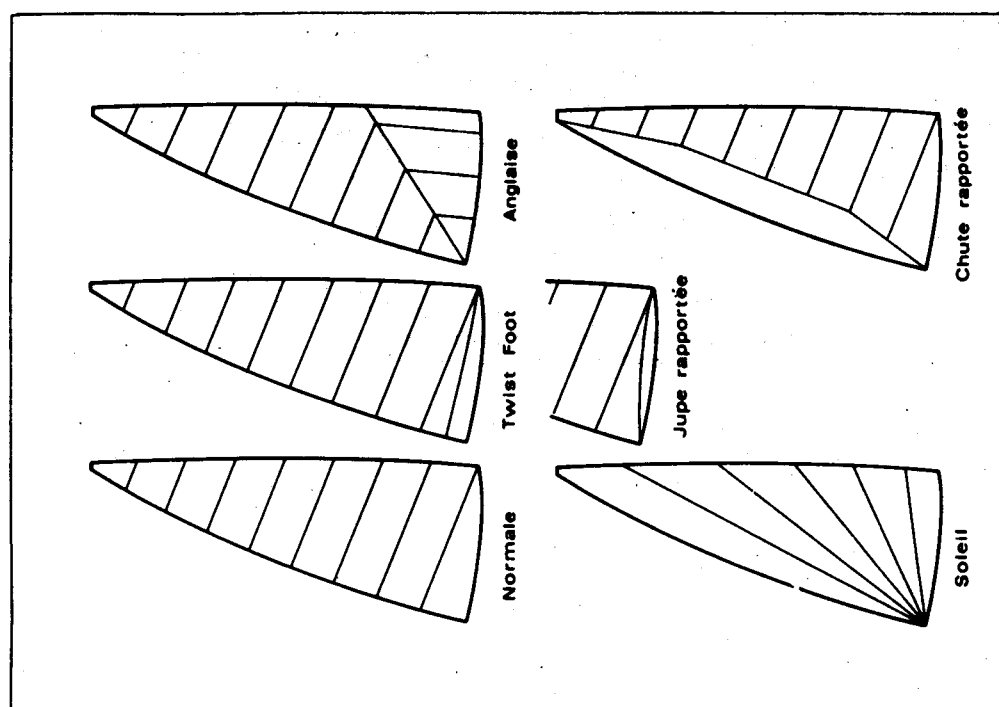


Figura 7 : Tipus de tess de veles majors.

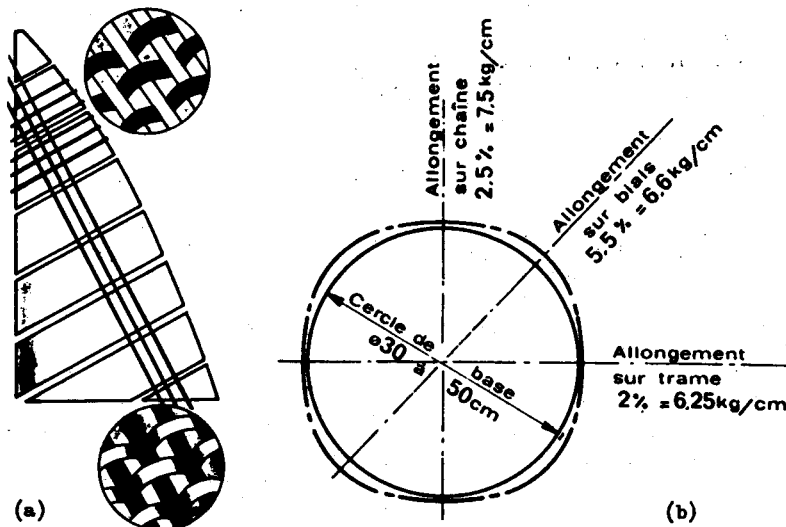


Figura 9 : (a) Disposició de la trama i de l'urdíubre en el tall horitzontal. (b) Corbes d'allargament d'un teixit en tres direccions diferents: Trama, Urdíubre i Biaix.

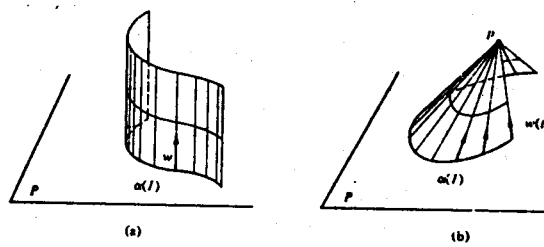


Figura 10 (a) Superficie cilíndrica.
(b) Superficie cònica.

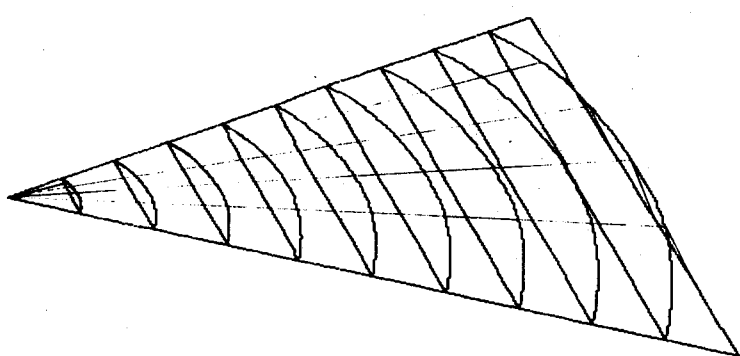


Figura 11: Divisió de la vela segons les seccions aerodinàmiques amb F/C constant.

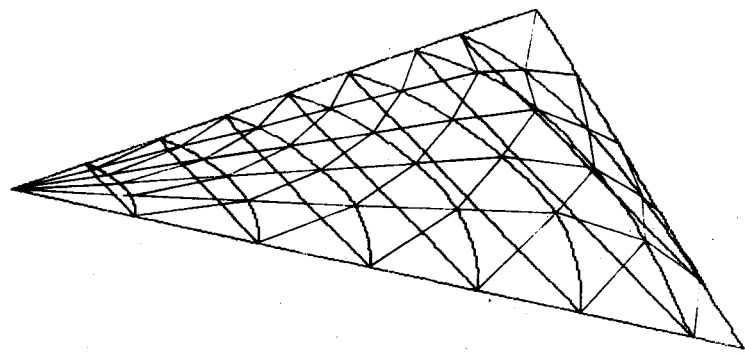


Figura 12: Divisió de la vela segons tall horitzontal. Separació entre punts exagerada i subdivisió en triangles.

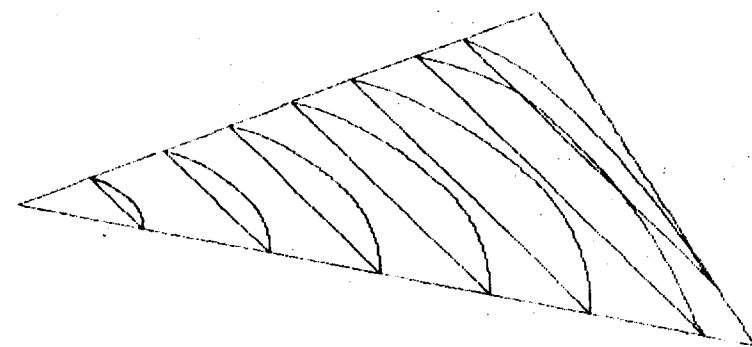


Figura 14 : Divisió de la vela en panys en projecció isomètrica.

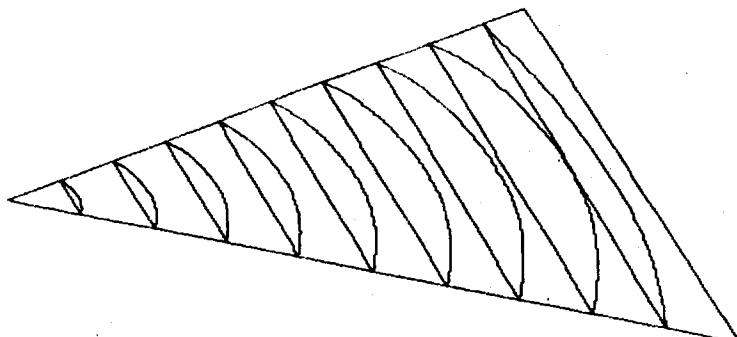


Figura 13 : Distribució de corbes aerodinàmiques en projecció isomètrica.

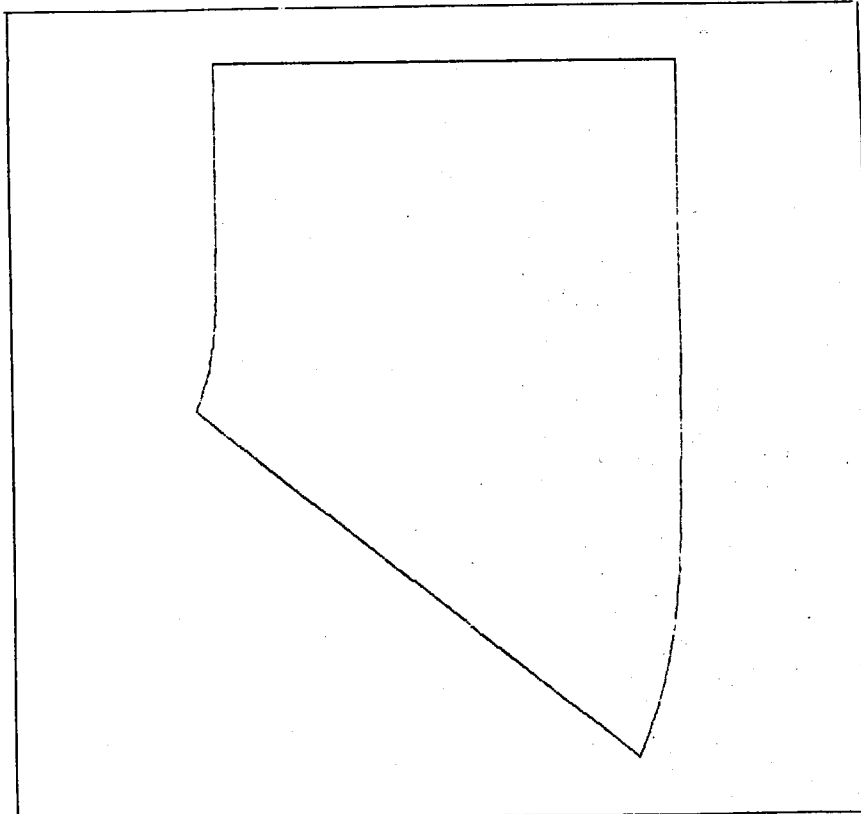


Figura 16 : Desenvolupament partitular d'un pany intermedi.

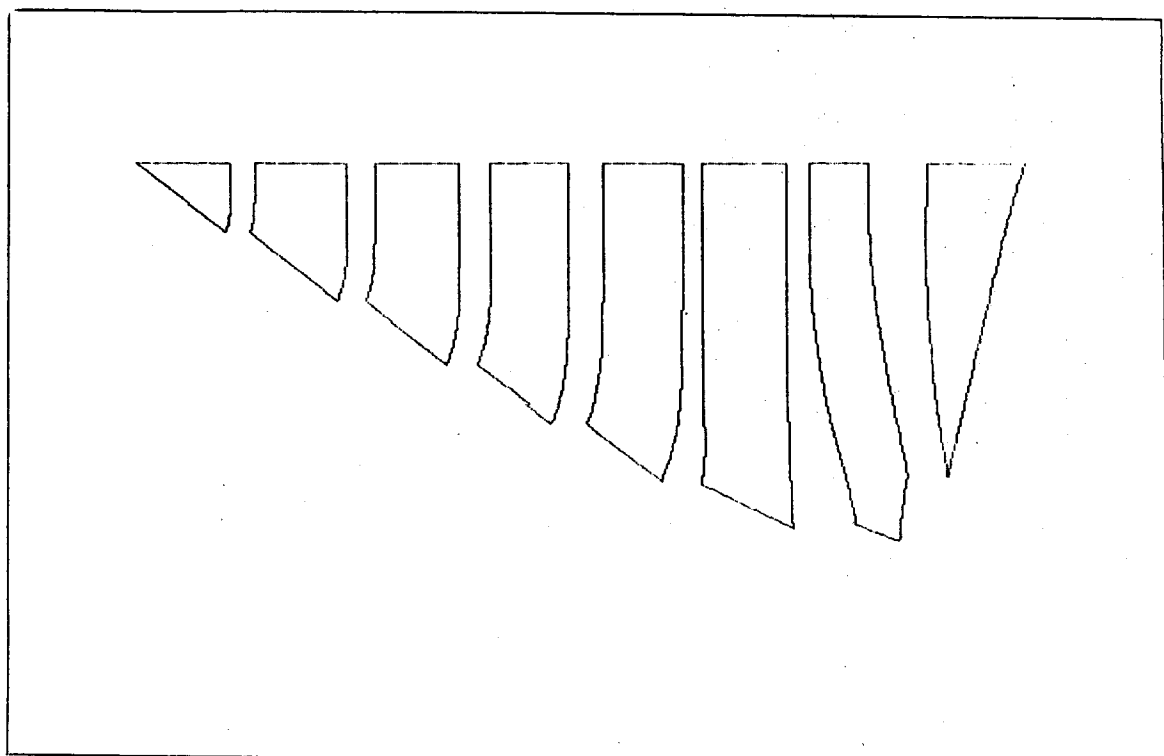


Figura 15 : Desenvolupament general de panys.